

## ORIGINAL ARTICLE

# ***Analysis of Hip Joint Dose in Prostate Cancer Radiation Therapy: A Dosimetric Comparison of Treatment Plans***

Tayyeb Pourfallah<sup>1</sup>,  
Amirhossein Ahmadi<sup>2</sup>,  
Danial Seifi Makrani<sup>3</sup>,  
Ehsan Mihandoust<sup>4</sup>,  
Saeed Davodian<sup>5</sup>

<sup>1</sup> Associate Professor, Department of Biochemistry, Biophysics and Genetics, Faculty of Medicine, Mazandaran University of Medical Sciences, Sari, Iran,

<sup>2</sup> Medical Student, Faculty of Medicine, Mazandaran University of Medical Sciences, Sari, Iran

<sup>3</sup> Phd Student in Medical Physics, Faculty of Medicine, Tehran University of Medical Sciences, Tehran, Iran

<sup>4</sup> Phd in Medical Radiation Engineering, Imam Khomeini Hospital, Sari, Iran

<sup>5</sup> Radiation Oncologist, Imam Khomeini Hospital, Mazandaran University of Medical Sciences, Sari, Iran

(Received April 28, 2020 ; Accepted may 18, 2021)

### **Abstract**

**Background and purpose:** Radiation therapy as a part of cancer treatment is used in almost 50-60% of involved cases. In prostate cancer radiation therapy, a large volume of pelvis is irradiated, so, it is necessary to preserve sensitive organs around the treatment area, especially rectum and bladder. In this study, some dosimetric parameters such as minimum dose ( $D_{min}$ ), maximum dose ( $D_{max}$ ), mean dose ( $D_{mean}$ ) to target (PTV) and organs at risk (OAR), Integral dose, Homogeneity Index and Conformity Index were compared between two techniques.

**Materials and methods:** In this analytical study, computed tomography scans of 50 patients (mean age: 52 years) attending Sari Imam Khomeini Hospital were acquired and transferred to the 3D treatment planning system (TPS). For each patient, a conventional plan (Box Fields) and modified oblique four-field (MOFF) plan were prepared using TPS for 15 MV photon energy. A total dose of 7200 cGy was prescribed for each patient. Data analysis was carried out in SPSS applying paired-t-test.

**Results:** In current study, 15-MV energies for radiation of pelvis and bladder using box radiation fields (routine plan) lead to maximum uniformity and homogeneity of dose in irradiated tumor tissue. The results also showed that 15-MV energies for radiation of pelvis and bladder and the new plan could decrease the average integrated dose in femur heads.

**Conclusion:** We observed a significant effect of the geometrics of radiation fields on distribution of dose in tumor tissue and also the amount of dose received by organs at risk in radiotherapy of patients with prostate cancer.

**Keywords:** radiotherapy, radiation field, prostate cancer, treatment planning

J Mazandaran Univ Med Sci 2021; 31 (197): 123-131 (Persian).

\* Corresponding Author: Danial Seifi Makrani - Faculty of Medicine, Tehran University of Medical Sciences, Tehran, Iran  
(E-mail: danial.seifi@gmail.com)

## بررسی دز رسیده به مفصل ران در پرتوودرمانی سرطان پروستات: مقایسه دزیمتريک روش های درمانی

طیب پورفللاح<sup>۱</sup>امیرحسین احمدی<sup>۲</sup>دانیال سیفی ماکرانی<sup>۳</sup>احسان میهن دوست<sup>۴</sup>سعید داویدیان<sup>۵</sup>

### چکیده

**سابقه و هدف:** تقریباً در ۵۰ تا ۶۰ درصد بیماران مبتلا به سرطان، از پرتوودرمانی به عنوان بخشی از فرآیند درمان استفاده می‌گردد. در پرتوودرمانی سرطان پروستات، حجم وسیعی از لگن مورد تابش قرار می‌گیرد و در نتیجه حفظ ارگان‌های حساس اطراف ناحیه درمانی مانند رکتوم و مثانه ضروری می‌باشد. این مطالعه جهت ارزیابی دز رسیده به استخوان فمور، رکتوم و مثانه انجام شد.

**مواد و روش‌ها:** در این مطالعه تحلیلی، تعداد ۵۰ بیمار مبتلا به سرطان پروستات با میانگین سنی ۵۲ سال که در سال ۱۳۹۷ به مرکز پرتوودرمانی بیمارستان امام خمینی(ره) ساری مراجعه نمودند، انتخاب شدند و برای هر یک از بیماران، دو طرح درمان (باکس و "چهار فیلد مورب") طراحی و دز کلی ۷۲۰۰ سانتی‌گری و انرژی باریکه ۱۵ مگاکلترон ولت برای آن‌ها منظور شد. در مطالعه حاضر به منظور ارزیابی و تجزیه و تحلیل نتایج دو طرح درمان، از نرم‌افزار SPSS و آزمون آماری Paired-T Test استفاده گردید.

**یافته‌ها:** نتایج نشان داد که استفاده از انرژی ۱۵ مگاکلترون ولت برای تابش ناحیه لگن با به کارگیری ۴ میدان باکس (طرح درمان رایج) منجر به بیشینه یکوتاختی و همگنی دز در بافت تحت تابش می‌انجامد. همچنین استفاده از انرژی ۱۵ مگاولت برای تابش کل لگن و به کارگیری ۴ میدان تابشی با چیزیش مورب میدان‌ها، منجر به کاهش میانگین دز رسیده به سر استخوان ران می‌گردد.

**استنتاج:** نتایج این مطالعه نشان‌دهنده تأثیر قابل توجه انتخاب مناسب طرح درمان بر چگونگی توزیع دز در بافت تومورال و همچنین دز رسیده به بافت‌های در معرض خطر در پرتوودرمانی سرطان پروستات می‌باشد.

**واژه‌های کلیدی:** پرتوودرمانی، طراحی میدان تابشی، سرطان پروستات، طراحی درمان

### مقدمه

سرطان پروستات دومین سرطان شایع در مردان و نیز دومین عامل مرگ ناشی از سرطان می‌باشد<sup>(۱)</sup>. در حساس اطراف ناحیه درمانی مانند رکتوم و مثانه پرتوودرمانی سرطان پروستات، حجم وسیعی از لگن

E-mail:daniel.seifi@gmail.com

مؤلف مسئول: دانیال سیفی ماکرانی؛ تهران؛ دانشگاه علوم پزشکی تهران، دانشکده پزشکی

۱. داشتار، گروه آموزشی بیوشیمی، بیوفزیک و ریتمیک، دانشکده پزشکی، دانشگاه علوم پزشکی مازندران، ساری، ایران

۲. داشتجوی پزشکی، دانشکده پزشکی، دانشگاه علوم پزشکی مازندران، ساری، ایران

۳. داشتجوی دکترای فیزیک پزشکی، گروه آموزشی فیزیک و مهندسی پزشکی، دانشکده پزشکی، دانشگاه علوم پزشکی تهران، ایران

۴. دکترای مهندسی پرتوپزشکی، بخش پرتوودرمانی مرکز آموزشی درمانی امام خمینی (ره)، ساری، ایران

۵. پزشک متخصص آنکولوژی پرتویی، بخش پرتوودرمانی مرکز آموزشی درمانی امام خمینی (ره)، ساری، ایران

۶. تاریخ دریافت: ۱۳۹۹/۲/۹ تاریخ ارجاع جهت اصلاحات: ۱۴۰۰/۲/۲۸ تاریخ تصویب: ۱۳۹۹/۲/۱۴

تکنیک پرتو درمانی، اعم از به کارگیری طرح درمانی مناسب و همین طور انرژی مساعد می‌تواند در کاهش دز ارگان‌های حساس موثر واقع شود<sup>(۳)</sup>. Aoyama و همکارانش به ارزیابی میزان دز تجمعی رسیده به بافت نرم‌التر درمان‌های سه بعدی تطبیقی و رادیوتراپی با شدت مدوله شده بیماران مبتلا به سرطان پروستات با انرژی‌های ۶ و ۲۰ مگاوات پرداختند. نتایج به دست آمده از این مطالعه نشان‌دهنده این بود که با افزایش انرژی فوتون فرودی، دوز تجمعی رسیده به بافت‌های سالم و مثانه کاهش می‌یابد<sup>(۴)</sup>. با توجه به مطالعات صورت گرفته، تغییر نتایج درمان در اثر افزایش انرژی و استفاده از تکنیک‌های نوین درمانی می‌تواند باعث کاهش دز رسیده به ارگان‌های حساس و مفصل ران شود. لزوم افزایش دوز جهت کنترل موضعی تومور، تسریع روند بهبودی سرطان و در نتیجه بهبود کیفیت زندگی بیمار از یک طرف و لزوم کاستن دوز به اعضای حساس به پرتو مانند رکتوم و مثانه در پرتو درمانی سرطان پروستات، جهت کاهش عوارض جانبی، از طرف دیگر، موضوع میزان دوز اعمالی را مورد مصالحه قرار داده است؛ به طوری که در یک طراحی درمان مناسب باید از میزان دز رسیده به اندام بحرانی آگاه بوده و این میزان تحت کنترل باشد. لذا، هدف از این مطالعه، ارزیابی روش‌های مختلف، مقایسه و بررسی پارامترهای دزیمتريک در دز رسیده به هدف و ارگان‌های در معرض خطر در پرتو درمانی سرطان پروستات است که در این مطالعه ارزیابی میزان تاثیر طرح درمان‌های مختلف بر روی بیماران و یافتن بهینه‌ترین طرح درمان موردنمطالعه قرار گرفته است.

## مواد و روش‌ها

مطالعه غیر مداخله‌ای و توصیفی حاضر بر روی اطلاعات ذخیره شده مربوط به بیماران مبتلا به سرطان پروستات با میانگین سنی ۵۲ سال بدون متاستاز و درگیری لنف نودها، که به منظور پرتو درمانی به بیمارستان

استفاده از تکنیک‌های پرتو درمانی جدید در درمان مؤثر این بیماری نقش به سزایی داشته و باعث کاهش پرتو گیری بافت‌های سالم مجاور خواهد شد<sup>(۳)</sup>. در پرتو درمانی کانونشناخ ناحیه پروستات، عموماً ۴۰ درصد از مفصل ران در میدان درمانی قرار گرفته و مورد تابش قرار می‌گیرد که این امر می‌تواند منجر به مسمومیت‌های خونی در بیمار گردد<sup>(۴)</sup>.

در درمان‌های جدید بیماران با سرطان پروستات، شیمی درمانی همزمان با پرتو درمانی به منظور بهبود نتیجه درمان مورد استفاده قرار می‌گیرد که با اضافه شدن شیمی درمانی، خطر ایجاد مسمومیت‌های خونی بالاتر می‌رود. مسمومیت خونی مسئله بسیار مهمی است زیرا می‌تواند ادامه درمان را مختل کرده و باعث توقف شیمی درمانی شود. مطالعات زیادی، ارتباط میان پارامترهای دزیمتريک مغز استخوان و شدت مسمومیت خونی را مورد بررسی قرار دادند. Mell و همکارانش نشان دادند که دز دریافنی پایین توسط مغز استخوان در بیماران می‌تواند باعث کاهش مسمومیت خونی شده و ادامه درمان به صورت شیمی درمانی همزمان (CRT) را فراهم می‌سازد<sup>(۵)</sup>. به منظور توزیع دز مناسب در مفصل ران و سایر ارگان‌های حساس در معرض پرتو در پرتو درمانی سرطان پروستات، امروزه از سیستم‌های پرتو درمانی استفاده می‌شود که می‌تواند توزیع دز دقیق به هدف و حداقل دز رسیده به ارگان‌های در معرض خطر را فراهم سازد. برخی از مطالعات از یک سری پارامترهای دزیمتريک در مقایسه طرح‌های درمانی استفاده کردند. برای مثال پارامترهایی مانند دز تجمعی، Weiss و همکاران<sup>(۶)</sup>، با افزایش انرژی پرتو از ۶ مگاوات به ۱۸ مگاوات، پارامترهای همگنی دز و ضریب تطبیق تغییر معنی‌داری ندارد و علاوه بر این در درمان با فوتون‌های ۶ مگاوات، ارگان‌های حساس بهتر حفظ می‌شوند و دز رسیده به آن‌ها کاهش می‌یابد. مطالعات دیگری نیز بیانگر این موضوع است که استفاده از نوع

طبق تعریف ICRU، به دلیل چند کانونه بودن آدنوکارسینومای پروستات، کل پروستات به عنوان حجم هدف عینی تومور (GTV) در نظر گرفته می شود. ناحیه پروستات همراه با غدد سینیال و زیکول (PESV) به عنوان CTV در نظر گرفته شده و به منظور در نظر گرفتن خطاهای مکاندهی بیمار و تجهیزات، حاشیه ای به اندازه ۱cm پیرامون حجم تومور بالینی در همه راستها به جز راستای خلفی که  $0.8\text{cm}$  بود، اضافه شد و حجم (Planning tumor volume, PTV) تومور طراحی شده (OAR) نیز که شامل رکنوم، سر استخوان های ران سمت راست و چپ و ناحیه مثانه می باشند، کانتورینگ شد. تصویر شماره ۱ درمانی و ارگان های در معرض خطر را نشان می دهد. پس از رسم نواحی درمانی و نواحی حساس، طرح درمان های مورد نظر طراحی شدند. هدف از پرتو درمانی، رساندن دوز ۷۰ گری در ۳۵ جلسه پرتو درمانی به این حجم به صورت یکنواخت و جلوگیری از رسیدن دوز به سایر ساختارها میباشد. در این مطالعه از دو طرح درمان مختلف شامل چهار میدان با زوایای مختلف مورد بررسی قرار گرفته است، درواقع، دو طرح درمان مختلف برای هر بیمار بر حسب میدان های مختلف تابشی مورد ارزیابی قرار گرفته شده است. مشخصات طرح های درمانی که در این مطالعه مورد مقایسه قرار گرفته در جدول شماره ۱ به نمایش در آمده است. تصویر شماره ۲ نیز شماتیک دو طرح درمانی مذکور را نشان می دهد. در این مطالعه طرح درمانی MOFF چهار فیلد سورب تغییر داده شده (modified oblique four field-MOFOF) با طرح درمانی معمولی باکس (Box) مورد بررسی و مقایسه قرار گرفته شده است. همچنین، در این مطالعه انرژی فوتون، ضریب وزنی پرتو، دوز تجویزی و نحوه شیلد گذاری در کلیه طرح های درمانی ثابت و بدون تغییر در نظر گرفته شد. سپس برای ارزیابی نتایج کمی و کیفی درمان ها با استفاده از منحنی هیستوگرام دز - حجم،

امام خمینی (ره) ساری در سال ۱۳۹۷ (فروردین ۹۷) لغایت بهمن ۹۷ مراجعه نمودند، به اجرا در آمد. به علت عدم امکان اعمال درمان های متعدد بر بیماران، از اطلاعات ذخیره شدهی CT اسکن بیماران جهت شبیه سازی طرح های مختلف استفاده شده است. برای به دست آوردن اطلاعات بیماران و شبیه سازی مراحل درمان، ابتدا از بیماران تصویر سی تی اسکن با ضخامت اسلاسیس ۵ میلی متر در وضعیت طاقباز (supine)، توسط دستگاه سی تی اسکن ۶۴ اسلاسیس ساخت شرکت زیمنس (Siemens Emotion System,Siemens Company,Germany) موجود در بخش رادیوتراپی بیمارستان امام خمینی (ره) ساری به دست آمد. به منظور طراحی درمان صحیح، همه بیماران چه در هنگام تصویربرداری و چه در هنگام پرتو درمانی با مثانه به نسبت پر و رکنوم خالی حضور یافتهند. سپس تصاویر به نرم افزار طرح درمان سه بعدی CorePlan از تولیدات شرکت کره ای انتقال یافته و برای هر یک از بیماران دو طرح درمان و در هر جلسه ۲۰۰ سانتی گری دوز طراحی شد. با توجه به رابطه زیر برای برآورده حجم نمونه، در هایت تعداد ۵۰ بیمار مبتلا به سرطان پروستات با میانگین سنی ۵۲ سال کاندیدای پرتو درمانی پروستات انتخاب شدند. در جدول شماره ۱ شاخص های آماری بیماران مورد مطالعه نشان داده شده است. حجم نمونه در این تحقیق با توجه به فرمول زیر مقدار ۵۰ به دست آمد:

$$n = \frac{N \times \sigma^2 \times Z_{1-\frac{\alpha}{2}}^2}{(N-1) \times d^2 + \sigma^2 \times Z_{1-\frac{\alpha}{2}}^2}$$

طراحی درمان

تعداد ۵۰ بیمار با سرطان پروستات موضعی در استیج  $T_1-T_2$  تحت رادیوتراپی خارجی با دز کل ۷۲ گری مورد بررسی قرار گرفتند. اطلاعات اولیه پس از Ct-Simulation به سیستم طراحی درمان سه بعدی Coreplan ارسال شد و توسط متخصص پرتو درمانی حجم ناحیه تحت درمان پروستات و همچنین حجم بافت های در معرض خطر (OAR) مشخص شدند.

هرچه این مقدار به یک نزدیک‌تر باشد ارزش بیش تری خواهد داشت.

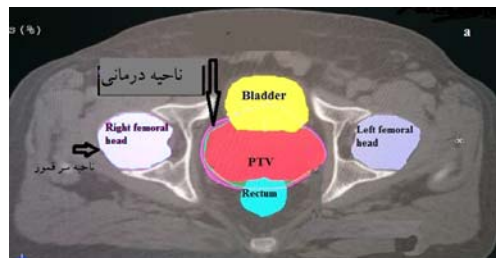
$$HI = (D_{2\%} - D_{98\%}) / D_{50\%} \quad (11, 12)$$

که در آن D2% و D98% و D50% دزی است که به ترتیب ۲ درصد، ۹۸ درصد و ۵۰ درصد از حجم PTV را شامل می‌شوند، هرچه این مقدار به صفر نزدیک‌تر باشد نشان دهنده میزان همگنی بیش تر در حجم مورد نظر است. به منظور محاسبه دز تجمعی (I.D)، که حاصل ضرب دوز رسیده به یک عنصر حجم ضریبدر حجم آن ضریبدر چگالی آن عنصر حجم می‌باشد، رابطه زیر نحوه محاسبه دوز تجمعی را در سیستم‌های محاسبه دوز نشان می‌دهد:

$$I.D. = \sum D_i \times V_i \times \rho_i$$

همچنین برای بررسی میزان دز رسیده به ارگان‌های در خطر شامل رکتوم، فمور و مثانه و پیش‌بینی عوارض ایجاد شده در آن‌ها کمیت‌های زیر در نظر گرفته شد. DVH برای بررسی ریسک پرتوگیری رکتوم از منحنی استفاده شده است. هیستوگرام‌های حجمی دوز ابزار بسیار مفیدی در بررسی کیفیت طرح درمان می‌باشد. در هیستوگرام‌های حجمی دوز تجمعی مقدار مربوط به هر دوز نشان دهنده حجمی از ناحیه مورد نظر است که دوزی برابر یا بیش تر از آن مقدار را دریافت کرده است. با استفاده از این فاکتور می‌توان میزان پوشش دوزهای مختلف را در یک حجم معین به دست آورد. پوشش دوز ایده‌آل برای حجم هدف، پوشش صد درصدی دوز برای تمام حجم می‌باشد. طبق این منحنی، پارامترهای  $V_{50}$ ،  $V_{65}$  و  $V_{70}$  استخراج گردید که به ترتیب حجمی از ناحیه مورد نظر که حداقل دوز ۵۰ گری، حجمی که حداقل دوز ۶۵ گری و حجمی که حداقل دوز ۷۰ گری می‌گیرد، می‌باشند که این مقادیر برای سه ناحیه اطراف در معرض خطر که شامل رکتوم، فمور و مثانه محاسبه شده است. علاوه بر پارامترهای فوق مقدار

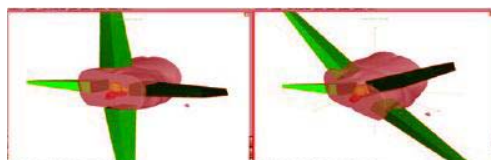
کمیت‌های دز تجمعی، ضریب تطبیق و ضریب همگنی دز مورد بررسی قرار گرفتند.



تصویر شماره ۱: ناحیه درمانی و ارگان‌های در معرض خطر

جدول شماره ۱: مشخصات دو طرح درمانی مورد استفاده

طرح درمانی چهار میدان باکس (طرح درمانی Box) چهار میدان با زوایای مغایرت (طرح درمانی MOFF)	زاویه باریک‌ها			
	باریک اول	باریک دوم	باریک سوم	باریک چهارم
۷۰	۹۰	۴۰	۳۰	۲۰
۳۰	۱۰	۵۰	۲۶۰	۱۸۰



تصویر شماره ۲: شماتیک طرح درمان MOFF (سمت راست) و طرح درمان Box (سمت چپ)

### مقایسه طرح‌ها

به منظور ارزیابی ناحیه تحت درمان، مقدار دز میانگین این ناحیه در تمامی بیماران، شاخص انطباق (CI) یا Confirmity index (CI) یا Hemoginity index (HI) و مقدار دز تجمعی (Integral Dose) مورد بررسی قرار گرفته است. پارامترهای ذکر شده با استفاده از نمودارهای DVH (Dose-Volumen histogram) استخراج شدند.

$$CI = \frac{V_{95\%}}{PTV} \quad (10)$$

که منظور از  $V_{95\%}$ ، مقدار حجمی است که ۹۵ درصد از دز تجویزی (10 گری) را دریافت می‌کند.

در این مطالعه، از کمیتهای مورد مطالعه در هر یک از بیماران و طرح درمان‌های ارائه شده، میانگین گیری شد و نتایج در جدول‌های ۲ تا ۶ آورده شدند.

**مقایسه دز رسیده به بافت هدف (ناحیه PTV)**

نتایج جداول ۲ و ۳ نشان می‌دهد که هر دو روش مورد بررسی، توزیع دز حجمی مناسبی را به بافت هدف ارائه نمودند و قادر به دستیابی به اهداف درمانی خواهیم بود. با این حال، مشاهده نتایج در جداول مذکور نشان می‌دهد که طرح درمانی MOFF می‌تواند مقدار دز میانگین بیشتری را در شرایط مشابه به بافت تومورال برساند ( $P < 0.05$ ). اما از لحاظ مقادیر دز ماکزیمم، دز مینیمم، شاخص‌های همگنی و تطابق، از لحاظ آماری تفاوت قابل ملاحظه‌ای در دو روش مورد بررسی مشاهده نمی‌شود ( $P > 0.05$ ).

جدول شماره ۲: دز ماکزیمم، دز مینیمم و دز میانگین پروستات برای طرح درمان‌های ارائه شده (میانگین کل بیماران)

	پارامتر	میانگین و انحراف معیار	سطح معنی داری
۰/۰۶	Box درمان	۷۶/۴±۱/۱۳	
	MOFF درمان	۷۵/۳±۰/۲۴	
۰/۰۳	Box درمان	۵۹/۸±۰/۱۵	
	MOFF درمان	۵۱/۴±۰/۱۷	
۰/۰۸	Box درمان	۷۰/۴±۰/۱۴	
	MOFF درمان	۷۱/۳±۰/۰۹	

\*: مقادیر P-Value کم تر از ۰/۰۵ در نظر گرفته شده است.

جدول شماره ۳:  $D_{98\%}$ ،  $D_{95\%}$  و TCP پروستات برای طرح درمان‌های ارائه شده (میانگین کل بیماران)

	پارامتر	میانگین و انحراف معیار	سطح معنی داری
۰/۰۱*	Box درمان	۶۶/۱±۰/۵۴	
	MOFF درمان	۶۶/۲±۰/۰۴	
۰/۰۶	Box درمان	۴۶/۰۱±۰/۱۳	
	MOFF درمان	۴۶/۰۱±۰/۷۸	
۰/۰۷	Box درمان	۴۸/۲±۰/۰۸	
	MOFF درمان	۴۸/۰±۰/۷۱	

\*: مقادیر P-Value کم تر از ۰/۰۵ در نظر گرفته شده است.

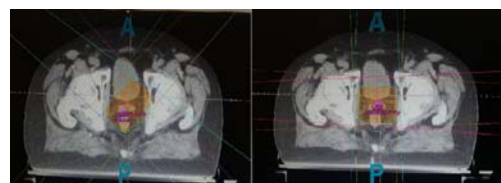
دز بیشینه (Dmax)، دز میانگین (Dmean)،<sup>۱</sup> و NTCP<sup>۲</sup> نیز برای ارگان‌های مورد بررسی از طریق نمودار DVH استخراج گردید. داده‌های نمودارهای هیستوگرام حجمی دز برای ساختارهایی مثانه، فمور، رکتوم و تومور بالینی در نرم افزار طراحی درمان محاسبه شده و به صورت خام از نرم‌افزار استخراج گردید. این داده‌ها جهت ارزیابی مقایسه دزیمتريک و اثرات زیست پرتوئي قابل استفاده می‌باشد.

### آنالیز آماری

پس از ورود اطلاعات، تجزیه و تحلیل داده‌ها تحت نرم افزار SPSS و با توجه به تعداد نمونه‌های مورد مطالعه، میانگین و انحراف معیار هر یک از کمیت‌ها به دست آمد. برای ارزیابی و تجزیه و تحلیل نتایج از آزمون آماری Paired-T Test استفاده گردید. همچنین سطح معنی داری  $P < 0.05$  در نظر گرفته شد.

### یافته‌ها

در این مطالعه طرح‌های درمانی سه بعدی با استفاده از انرژی ۱۵ مگاوارل و دو طرح درمانی BOX و MOFF بر روی تصاویر سی‌تی اسکن ۵۰ بیمار مرد مبتلا به سرطان پروستات مورد بررسی مقایسه‌ای قرار گرفت. تصویر شماره ۳ نمونه‌ای از طرح‌های درمانی مورد مقایسه، در نرم افزار coreplan را نشان می‌دهد.



تصویر شماره ۳: نمایش طرح‌های درمانی در نرم افزار coreplan

1. Tumor control probability

2. Normal tissue complication probability

مقایسه دز رسیده به مثابه  
در مورد دز رسیده به مثابه نتایج نشان دهنده این است که استفاده از طرح درمانی MOFF می تواند دز رسیده به مثابه بیماران را افزایش دهد و هیچ گونه برتری در استفاده از طرح درمانی MOFF مشاهده نگردید. طبق نتایج جدول شماره ۶، دز میانگین رسیده به مثابه و همچنین پارامتر  $V_{70Gy}$  در طرح درمانی MOFF افزایش داشته است که این افزایش از لحاظ آماری معنی دار بود.

جدول شماره ۶: دز میانگین،  $D_{30\%}$ ،  $V_{65Gy}$ ،  $V_{70Gy}$  مثابه و رکنوم

میانگین کل بیماران					
	سطح معنی داری	MOFF	درمان	Box	پارامتر
۰/۰۵*		۴۷/۲۳±۱/۱	۴/۱۰±۰/۰۵		$D_{mean(Gy)}$
۰/۲		۱۰/۲۱±۱/۲	۱۰/۰۰±۱/۲۲		$D_{30\%}(Gy)$
۰/۱		۲۶/۲۳±۷/۶	۲۲/۵۰±۰/۷۷		$V_{65Gy}(\%)$
۰/۰۱*		۱۳/۷۴±۷/۷۶	۱۱/۰۱±۷/۰۲		$V_{70Gy}(\%)$
۰/۰۶		۲۷/۳۴±۰/۰۷	۲/۰۵±۰/۰۹		NTCP( $Gy$ )
۰/۰۲		۴۰/۲۳±۰/۱۴	۴۰/۰۴±۰/۰۵		$D_{mean(Gy)}$
۰/۰۵		۴۹/۱۱±۰/۰۴	۵۰/۱۰±۰/۰۴		$D_{30\%}(Gy)$
۰/۰۲		۱۸/۲۳±۰/۰۷	۲۶/۵۰±۰/۱۳		$V_{65Gy}(\%)$
۰/۰۶		۷/۱۳±۰/۰۷	۸/۰۱±۰/۰۱		$V_{70Gy}(\%)$
۰/۰۷		۲۳/۳۱±۱/۸۱	۲/۰۵±۰/۰۷		NTCP( $Gy$ )

\*: مقادیر P-Value کم تر از ۰/۰۵ در نظر گرفته شده است.

### مقایسه دز رسیده به رکنوم

نتایج جدول شماره ۶ نشان می دهد، میانگین دز رسیده به رکنوم، حجمی از رکنوم که دز ۶۵ گری و ۷۰ گری دریافت کرده و نیز مقدار دزی که به ۳۰ درصد از حجم رکنوم رسیده در دو روش مورد استفاده از لحاظ آماری تفاوت قابل ملاحظه ای نداشته است.

### بحث

امروزه با توسعه روش های پرتو درمانی سه بعدی همچون روش پرتو درمانی سه بعدی تطبیقی (3D Conformal) و روش پرتو درمانی با شدت تعدیل یافته (IMRT) دز دریافتی بافت های در معرض خطر به کمترین میزان خود رسیده و پارامترهای طراحی درمان و توزیع دوز بافت هدف (PTV) ارتقا چشمگیری یافته است. در کنار تکنیک های درمانی فوق، استفاده از

در مورد شاخص  $D_{98\%}$  طبق جدول شماره ۳، که نشان دهنده دزی است که ۹۸ درصد از حجم PTV شامل می شود، استفاده از طرح درمانی MOFF باعث بهبود این پارامتر خواهد شد. به این معنی که استفاده از روش درمانی MOFF می تواند دز بیشتری را به ۹۸ درصد از حجم تومور تحويل دهد.

طبق جدول شماره ۴، مقادیر شاخص همگنی و شاخص انطباق در درمان Box نسبت به درمان MOFF برتری داشته است.

### مقایسه دز رسیده به سرفمور

نتایج جدول شماره ۵ نشان می دهد استفاده از روش درمانی MOFF، می تواند محافظت بهتری از استخوان های سر ران بیماران داشته باشد. طبق جدول میانگین دز رسیده به فمور (چپ و راست) در بیمارانی که از طرح درمانی MOFF استفاده شده کاهش داشته و همچنین پارامتر  $V_{50Gy}$  که بر حسب درصد بیان شده است، در طرح درمانی MOFF کاهش یافته است. یعنی استفاده از تکنیک MOFF می تواند درصد حجمی از استخوان فمور را که دز ۵۰ گری دریافت می کند را کاهش دهد.

جدول شماره ۴: شاخص انطباق، شاخص همگنی و دز تجمعی پرسنات براي طرح درمان های ارائه شده (میانگین کل بیماران)

پارامتر	میانگین و انحراف standart	سطح معنی داری	با اشاره	شناخت	با اشاره
۰/۰۱*	۰/۰۹۵±۰/۰۱		Box	درمان	$D_{mean}$
۰/۰۳*	۰/۰۹۱±۰/۱۱		Box	درمان	$V_{50Gy}$
۰/۰۱	۴/۹۸±۰/۰۴		Box	درمان	$(Kg.Gy)$
	۵/۰۱±۰/۰۳		MOFF	درمان	MOFF

\*: مقادیر P-Value کم تر از ۰/۰۵ در نظر گرفته شده است.

جدول شماره ۵: دز میانگین،  $V_{70Gy}$  و NTCP استخوان فمور راست و چپ (میانگین کل بیماران)

	ارگان در معرض خطر	پارامتر	سطح معنی داری	MOFF	درمان	Box
۰/۰۴*				۲۵/۲۰±۰/۰۱	۳۰/۳۰±۰/۰۱	$D_{mean(Gy)}$
۰/۰۰۶*				۱/۰۰۲±۰/۰۹	۲/۶۸±۰/۰۳	$V_{50Gy}(\%)$
۰/۰۳*				۰/۰۴±۰/۰۹	۱/۷۴±۰/۰۱	NTCP(%)
۰/۰۴*				۲۲/۴۵±۰/۰۲	۲۸/۴۵±۰/۰۱	$D_{mean(Gy)}$
۰/۰۰۵*				۱/۶۵±۰/۰۱	۳/۰۱±۰/۰۵	$V_{50Gy}(\%)$
۰/۰۰۴*				۰/۰۷±۰/۰۱	۱/۵۸±۰/۰۲	NTCP(%)

\*: مقادیر P-Value کم تر از ۰/۰۵ در نظر گرفته شده است.

اطراف هدف برای مثال دز رسیده به استخوان فمور را کاهش دهد. نتایج این مطالعه همچنین نشان داد که استفاده از انرژی های ۱۵ مگاولت فوتونی که در هر دو روش مورد بحث در این مطالعه بکار گرفته شد، می تواند در پرتودرمانی خارجی پروستات باعث بهبود شاخص های توزیع دز پروستات و کاهش دز تجمعی بافت های در معرض خطر همچون مثانه، رکتوم و سر استخوان های ران شود که بیانگر بهبود پارامترهای طراحی درمان در پرتودرمانی ناحیه لگن با انرژی های بالای فوتونی است که با نتایج حاصل از مطالعات چانگ و همکاران و مطالعه ای که توسط جباری انجام شد، مطابقت دارد(۱۴،۱۵). همچنین مطالعه حاضر نشان داد که تعداد میدان های تابشی و ترتیب یا چینش آنها نیز بر پارامترهای توزیع دز در بافت هدف و دز دریافتی بافت های در معرض خطر تأثیر معنی داری دارد.

## سپاسگزاری

بدین وسیله از معاونت محترم پژوهشی دانشگاه علوم پزشکی مازندران، پرسنل محترم بخش پرتودرمانی بیمارستان امام(ره) ساری و تمام کسانی که در انجام این مطالعه ما را یاری نمودند نهایت تشکر و قدردانی را داریم.

## References

1. Mohler J, Bahnsen RR, Boston B, Busby JE, D'Amico A, Eastham JA, et al. NCCN clinical practice guidelines in oncology: prostate cancer. *J Natl Compr Canc Netw* 2010; 8(2): 162-200.
2. Lukka H, Ward P, Pickles T, Morton G, Brundage M, Souhami L. Controversies in prostate cancer radiotherapy: consensus development. *Can J Urol* 2001; 8(4): 1314-1322.
3. De Meerleer GO, Vakaet LA, De Gersem WR, De Wagter C, De Naeyer B, De Neve WiIfried. Radiotherapy of prostate cancer with or without intensity modulated beams: a planning comparison. *Intrnational Journal of Radiation Oncology Biology Physics* 2000; 47(3): 639-648.
4. Biegała M, Hydzik A. Analysis of dose distribution in organs at risk in patients with prostate cancer treated with the intensity-modulated radiation therapy and arc technique. *Journal of Medical Physics* 2016; 41(3): 198.
5. Mell LK, Kochanski JD, Roeske JC, Haslam JJ, Mehta N, Yamada SD, et al. Dosimetric

برخی شرایط تابش دهی همچون استفاده از انرژی های مختلف و میدان های تابشی نیز بر پارامترهای طراحی درمان تأثیر قابل توجهی دارند. این مطالعه به منظور بررسی تأثیر چینش میدان ها بر فاکتورهای ارزیابی توزیع دز در بافت هدف و دز رسیده به بافت های در معرض خطر انجام گردید.

اثرات دزیمتربیک و زیستی روش های پرتودرمانی پروستات در مطالعات پیشین مورد بررسی قرار گرفته اند. اگرچه امروزه در مرکز پرتودرمانی امام خمینی ساری IMRT میسر نمی باشد، اکثر مطالعات بر برتر بودن روش IMRT بر روش های قدیمی تر مانند روش های کانفرمال (تطیقی) اذعان دارند. برای نمونه، در مطالعه ای که توسط لوکستون و همکاران انجام شد(۱۳)، مقدار احتمال کنترل تومور (TCP) برای روش IMRT بیش تر از روش کانفرمال گزارش شده است. اگرچه در مطالعه مذکور، مقدار شاخص NTCP در دو روش تفاوت بارزی نداشته است. با این حال با توجه به شرایط موجود و بیماران بسیاری که به منظور پرتودرمانی به مراکز MOFF کشور مراجعه می کنند، استفاده از تکنیک های کانفرمال مانند روش مورد استفاده در این پژوهش، می تواند تا حدی مقدار آسیب رسیده به بافت های نرم الیافی

- predictors of acute hematologic toxicity in cervical cancer patients treated with concurrent cisplatin and intensity-modulated pelvic radiotherapy. *Int J Radiat Oncol Biol Phys* 2006; 66(5): 1356-1365.
6. Weiss E, Siebers JV, Keall PJJR. An analysis of 6-MV versus 18-MV photon energy plans for intensity-modulated radiation therapy (IMRT) of lung cancer. *Radiotherapy and Oncology* 2007; 82(1): 55-62.
  7. Pourfallah T, Shahidi M, Seifi Makrani D, Mihandoust E, Davodian S. Dosimetric Evaluation of Target Volume in Breast Boost Radiotherapy: Comparison of Electron and Photon Beam. *J Mazandaran Univ Med Sci* 2019; 29(175): 65-75 (Persian).
  8. Seifi Makrani D, Hasanzadeh H, Allahverdi Pourfallah T, Ghasemi A, Jadidi M. Non-surgical Treatments of Esophageal Cancer. *Archives of Advances in Biosciences* 2015; 6(1). (Persian).
  9. Aoyama H, Westerly DC, Mackie TR, Olivera GH, Bentzen SM, Patel RR, et al. Integral radiation dose to normal structures with conformal external beam radiation. *Int J Radiat Oncol Biol Phys* 2006; 64(3): 962-967.
  10. 3. Special considerations regarding absorbed-dose and dose-volume prescribing and reporting in IMRT. *J ICRU* 2010; 10(1): 27-40.
  11. Chen W, Yang X, Jiang N, Zhang Z, Hong J, He Y, et al. Intensity-modulated radiotherapy, volume-modulated arc therapy and helical tomotherapy for locally advanced nasopharyngeal carcinoma: a dosimetric comparison. *Transl Cancer Res* 2017; 6(5): 929-939.
  12. Arthurs M, Gillham C, O'Shea E, McCrickard E, Leech MJPro. Dosimetric comparison of 3-dimensional conformal radiation therapy and intensity modulated radiation therapy and impact of setup errors in lower limb sarcoma radiation therapy. *Practical Radiation Oncology* 2016; 6(2): 119-125.
  13. Luxton G, Hancock SL, Boyer AL. Dosimetry and radiobiologic model comparison of IMRT and 3D conformal radiotherapy in treatment of carcinoma of the prostate. *Int J Radiat Oncol Biol Phys* 2004; 59(1): 267-284.
  14. Chung J-B, Kim J-S, Kim I-A, Lee J-W, Cho W, Suh T-SJKPS. The effect of photon energy on the intensity-modulated radiation therapy plan for prostate cancer: a planning study. *J Korean Phys Soc* 2011; 59(1): 183-188.
  15. Molazadeh M, Saberi H, Rahmatnejad L, Molani A, Jabbari N. Evaluation the effect of photon beam energies on organ at risk doses in three-dimensional conformal radiation therapy. *Res J Appl Eng Technol* 2013; 6(12): 2110-2117 (Persian).